

SERIE D'EXERCICES N°32 : CIRCULATION DU CHAMP MAGNETOSTATIQUE, THEOREME D'AMPERE DIPOLE MAGNETIQUE

Exercice 1 : couche plane infinie.

- Déterminer le champ créé en un point M de l'espace par une couche plane infinie, contenue entre les plans $z = -\frac{e}{2}$ et $z = +\frac{e}{2}$ de courants volumiques uniformes $\vec{j} = j\vec{e}_x$.
- Donner la représentation graphique de $B(M)$.
- Retrouver le cas limite de la nappe de courant.

Exercice 2 : cylindre infini de densité de courant uniforme.

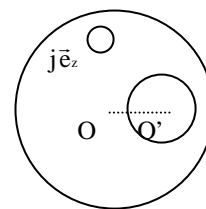
- Déterminer le champ créé en un point M de l'espace par un cylindre d'axe (Oz) , de rayon R , à l'intérieur duquel circule un courant d'intensité résultante I avec une densité volumique uniforme $\vec{j} = j\vec{e}_z$.
- Donner la représentation graphique de $B(M)$.

Exercice 3 : cylindre avec cavité cylindrique.

Une cavité cylindrique d'axe $(O'z')$ et de section circulaire de rayon R' , a été pratiquée dans un cylindre conducteur d'axe (Oz) et de rayon R .

En dehors de la cavité, le conducteur est parcouru par un courant constant de densité uniforme $\vec{j} = j\vec{e}_z$.

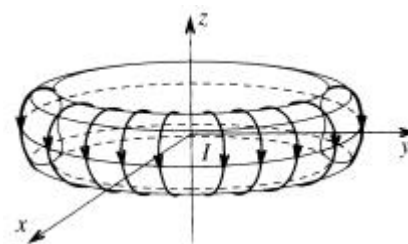
Déterminer le champ magnétique en tout point de la cavité.



Exercice 4 : bobine torique.

Calculer le champ créé en tout point de l'espace par l'enroulement sur un tore de N spires régulièrement espacées parcourues par un courant d'intensité I .

On notera que le résultat est valable pour toute bobine torique, indépendamment de la forme de sa section (circulaire, carrée...).



Exercice 5 : solénoïde infini.

- Calculer le champ magnétique créé en tout point de l'espace par un solénoïde « infini » de section circulaire, parcouru par un courant I et possédant n spires par unité de longueur (un solénoïde de section circulaire peut être considéré comme infini si le rapport de sa longueur au rayon de sa section est supérieur à 10).
- Le résultat précédent dépend-il de la forme de la section du solénoïde ?

Exercice 6 : moment magnétique d'une sphère uniformément chargée en rotation.

Une sphère chargée uniformément en surface, de charge totale q et de rayon R , tourne à la vitesse angulaire constante ω autour de (Oz) . Déterminer le moment magnétique de la distribution de courants associée.

Exercice 7 : modèle classique de l'électron.

Le moment magnétique interne d'un électron, associé à son « spin », est en valeur absolue égal à $M = \mu_B = \frac{e h}{2 m_e}$ (μ_B étant le magnéton de Bohr). On suppose (c'est un modèle...) l'électron représenté par une boule de rayon $r_0 = \frac{e^2}{4 \pi \epsilon_0 m_e c^2}$ uniformément chargée en volume, et tournant autour de l'un de ses diamètres à la vitesse angulaire ω par rapport à son référentiel barycentrique.

- Calculer le moment magnétique \vec{M} de cet électron en fonction de e , r_0 et du vecteur rotation $\vec{\omega}$.
- Sachant que $\alpha = \frac{e^2}{2 \epsilon_0 h c} \approx \frac{1}{137}$ (constante de structure fine) en déduire l'expression de la vitesse angulaire ω en fonction de m_e , c , α et h , puis celle de la vitesse d'un point équatorial. Que faut-il conclure d'un tel résultat ?

Exercice 8 : mesure du moment dipolaire magnétique d'un aimant.

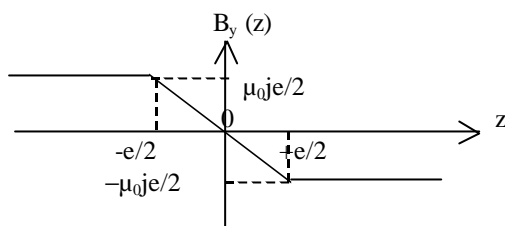
Soit un petit aimant de moment magnétique de norme M inconnue. On dispose d'une aiguille aimantée mobile sans frottement autour d'un axe vertical. A l'équilibre, cette aiguille est orientée dans le sens de la composante horizontale du champ auquel elle est soumise. Comment peut-on mesurer le moment M de l'aimant en un lieu où la composante horizontale B_H du champ magnétique terrestre est connue ? Préciser le protocole expérimental pour le cas d'un petit aimant qui aurait le même moment magnétique qu'une bobine de rayon moyen $R = 50 \text{ cm}$, comportant $N = 10$ spires parcourues chacune par un courant d'intensité $I = 2 \text{ A}$, sachant que $B_H = 2.10^{-5} \text{ T}$.

Réponses.

Exercice 1.

1) $B_y(z) = -\mu_0 j z$ si $|z| < e/2$; $B_y(z) = -\frac{\mu_0 j e}{2}$ si $z > e/2$; $B_y(z) = +\frac{\mu_0 j e}{2}$ si $z < -e/2$.

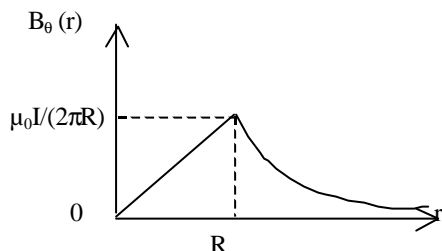
2)



3) Si $e \rightarrow 0$ alors $j_s = j e$: $B_y = -\frac{\mu_0 j_s}{2}$ si $z > 0$ et $B_y = +\frac{\mu_0 j_s}{2}$ si $z < 0$.

Exercice 2.

Pour $r < R$: $B_\theta(r) = \frac{\mu_0 I r}{2 \pi R^2}$; pour $r > R$: $B_\theta(r) = \frac{\mu_0 I}{2 \pi r}$.



Exercice 3.

$\mathbf{B}_{\text{cavité}}(\mathbf{M}) = \frac{\mu_0}{2} \mathbf{j} \wedge \mathbf{OO}' = \text{cte}$.

Exercice 4.

$\mathbf{B}_{\text{int}} = \frac{\mu_0 n I}{2 \pi r} \mathbf{u}_\varphi$ et $\mathbf{B}_{\text{ext}} = \mathbf{0}$.

Exercice 5.

$\mathbf{B}_{\text{int}} = \mathbf{B}_{\text{axe}} = \mu_0 n I \mathbf{u}_z$ et $\mathbf{B}_{\text{ext}} = \mathbf{0}$.

Exercice 6.

$\mathbf{M} = \frac{\omega q R^2}{3} \mathbf{u}_z$.

Exercice 7.

1) $\mathbf{M} = -\frac{\omega e r_0^2}{5} \mathbf{u}_z$. 2) $\omega = \frac{5 \pi m_e c^2}{\alpha^2 h}$ et $v_0 = \frac{5c}{2\alpha} > c$: ce modèle classique ne peut correspondre à ce qui se passe réellement.

Exercice 8.

$M = \frac{2 \pi r^3 B_H \tan \alpha}{\mu_0}$; $M = N I \pi R^2 = 15,7 \text{ A.m}^2$.